

УДК 535.417

**ЭКСПЕРИМЕНТАЛЬНОЕ ОПРЕДЕЛЕНИЕ  
ИЗМЕНЕНИЙ ТОЛЩИНЫ ОПТИЧЕСКИХ ВОЛНОВОДНЫХ ПЛЕНОК  
ПО ИНТЕРФЕРЕНЦИИ ПОЛЕЙ РАССЕЯНИЯ МОД  
С РАЗНОЙ ПОЛЯРИЗАЦИЕЙ**

*A. Ю. Агапов, Л. Н. Дерюгин, С. В. Зайцев и А. В. Чекан*

Рассматриваются возможности определения изменений по толщине тонкопленочных оптических волноводов на основе измерения ширины полос интерференции полей рассеяния двух волноводных мод с разной поляризацией — TE и TM. Рассчитана погрешность метода для волноводов с различными показателями преломления волноводных слоев. Приводятся результаты экспериментальных исследований изменений толщины волноводных пленок полистирола на стекле.

Введение

Отклонение параметров волноводных пленок от номинальных значений приводит к изменениям фазовой скорости волноводных волн, что может существенно изменить характеристики тонкопленочных оптических устройств [1-3]. Поэтому обеспечение достаточной однородности оптических волноводных пленок является необходимым условием создания эффективно работающих устройств. При этом допустимая относительная неоднородность пленок по фазовой скорости распространяющихся в них волноводных волн в ряде случаев имеет порядок  $0.1 \div 0.01\%$ , что соответствует изменениям по толщине пленки на десятки и даже единицы ангстрем. Известные интерференционные методы измерения параметров тонких диэлектрических пленок позволяют получить требуемую точность только при значительном усложнении техники измерений. В связи со сказанным возникает необходимость изыскания новых путей контроля изменений по толщине тонких оптических волноводных пленок, отвечающих особенностям и задачам волноводной оптики.

Использование волноводных свойств тонких пленок в сочетании с интерферометрическими методами позволяет измерить изменение толщины пленок вдоль направления распространения волноводной волны с более высокой точностью, чем при обычной интерферометрии, что представлено в нашей работе [4], где рассматривается возможность измерения неоднородности по толщине тонкопленочного волновода с излучающей дифракционной решеткой. Однако необходимость дифракционного вывода излучения по всей длине волновода ограничивает применение такого метода. Ниже рассматривается возможный метод измерения изменений по толщине волновода, не требующий вывода излучения и основанный на описанном в [5] явлении интерференции полей рассеяния двух волноводных мод, имеющих различную TE и TM поляризацию.

Сущность метода измерений

Рассмотрим трехслойный диэлектрический волновод, образованный средами с показателями преломления: верхней —  $n_1$ , несущего слоя для TE мод —  $n_2$ , несущего слоя для TM мод —  $n_2^*$ , подложки —  $n_3$ , при толщине волноводной пленки —  $h$ . Коэффициенты замедления фазовой скорости волноводных мод с индексом  $m$  для TE мод —  $\gamma_m$  и для TM мод —  $\gamma_m^*$  связаны с параметрами волновода известными дисперсионными уравнениями

$$K_0 h \sqrt{n_2^2 - \gamma_m^2} = \arctg \frac{\sqrt{\gamma_m^2 - n_1^2}}{\sqrt{n_2^2 - \gamma_m^2}} + \arctg \frac{\sqrt{\gamma_m^2 - n_3^2}}{\sqrt{n_2^2 - \gamma_m^2}} + m\pi, \quad (1)$$

$$K_0 h \sqrt{n_2^{*2} - \gamma_m^{*2}} = \arctg \frac{n_2^* \sqrt{\gamma_m^{*2} - n_1^2}}{n_1^2 \sqrt{n_2^{*2} - \gamma_m^{*2}}} + \arctg \frac{n_2^{*2} \sqrt{\gamma_m^{*2} - n_3^2}}{n_3^2 \sqrt{n_2^{*2} - \gamma_m^{*2}}} + m\pi, \quad (2)$$

где  $K_0 = 2\pi/\lambda_0$  — постоянная распространения в свободном пространстве. Пусть в волноводе вдоль некоторого направления распространяются две волноводные моды TE и TM с постоянными распространениями  $K = K_0 \gamma_m$ , и  $K = K_0 \gamma_m^*$ , которые рассеиваются на поверхностных и объемных центрах. Тогда вследствие деполяризации полей рассеяния возникает интерференционная картина с цепиодом в соответствии с [5]

$$\Delta = \lambda_0 |\gamma_m - \gamma_m^*|^{-1}. \quad (3)$$

Предположим, что вдоль направления распространения изменяется толщина волноводной пленки  $h$  при постоянных остальных параметрах волновода —  $n_1$ ,  $n_2$ ,  $n_2^*$ ,  $n_3$ . В этом случае изменяются и коэффициенты замедления фазовой скорости мод, и интерференционная картина становится непериодичной. В предположении, что на ширине интерференционной полосы толщина меняется мало, в соответствии с (3), можно вычислить  $\Delta\gamma = \gamma_m - \gamma_m^*$  на полосе и далее с помощью дисперсионных уравнений (1), (2), рассчитать толщину волновода  $h$ . Записать аналитический вид функции  $h(\Delta)$  при решении системы уравнений (1), (2) и (3) не удается, однако использование современных вычислительных методов на ЭВМ позволяет решить эту задачу.

### Возможности метода и точность измерений толщины пленок

1. Трехслойный волновод с изотропным несущим слоем. Для анализа возможностей метода были рассчитаны таблицы зависимости периода интерференционной картины  $\Delta$  от толщины волноводной пленки  $h$  при различных показателях преломления  $n_1$ ,  $n_2 = n_2^*$ ,  $n_3$  сред, составляющих волновод. Результаты расчета для трех разных пленок на стеклянной подложке на длине волны  $\lambda_0 = 0.6328$  мкм приведены на рис. 1. Погрешность измерения толщины пленки рассчитывалась по формуле

$$\Delta h = \left| \frac{\partial h}{\partial \Delta} \right| \frac{\Delta \Lambda}{\Lambda} \Delta, \quad (4)$$

где производная  $\partial h / \partial \Delta$  рассчитывалась при фиксированных параметрах волновода. На рис. 2 представлены графики зависимости  $\Delta h$  от толщины волноводных пленок при погрешности в определении ширины интерференционных полос  $\Delta \Lambda / \Lambda = 0.1$  для волноводов с теми же параметрами, что и на рис. 1. Расчеты проводились для TE<sub>0</sub> и TM<sub>0</sub> мод.

По результатам расчетов можно сделать выводы, что для изотропных волноводных пленок с небольшой разностью показателей преломления  $n_2 - n_3 < 0.1$  ширина интерференционных полос  $\Delta > 0.05$  мм, что удобно для обработки, и метод может быть применен практически для пленок любой толщины; для пленок с большей разностью показателей преломления  $n_2 - n_3 > 0.2$  ширина полос может быть менее 0.01 мм, что необходимо учесть при экспериментальных измерениях, в этом случае метод более удобен для пленок с большей толщиной —  $h > 0.5$  мкм.

2. Трехслойный волновод с двойным лучепреломлением. Практически во всех тонкопленочных оптических волноводах, которые исследовались на наличие двойного лучепреломления, было обнаружено это свойство [6-8]. Разность показателей преломления пленки для волноводных волн разных поляризаций  $\Delta = n_2^* - n_2$  существенно зависит от технологии ее изготовления и обычно составляет от 0.002 до 0.02. В этих пределах, как и для волновода с изотропным несущим слоем, были рассчитаны зависимости  $\Delta(h)$  и  $\Delta h(h)$  при  $\lambda_0 = 0.6328$  мкм и погрешности в определении ширины интерференционных полос  $\Delta \Lambda / \Lambda = 0.1$ . Для одного значения  $\Delta = 0.005$  на рис. 3 представ-

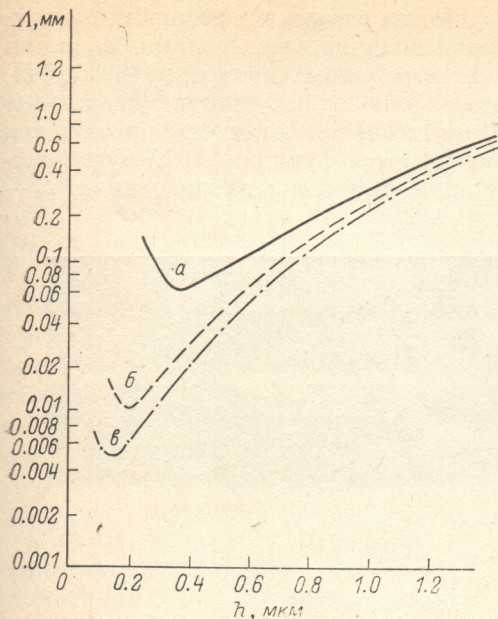


Рис. 1. Зависимость периода интерференционной картины полей рассеяния TE<sub>0</sub>, TM<sub>0</sub> волн от толщины изотропной волноводной пленки при  $n_1=1.0$ ,  $n_3=1.513$ .

$a — n_2=1.6$ ,  $b — n_2=1.8$ ,  $e — n_2=2.0$ .

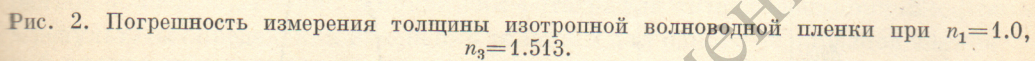


Рис. 2. Погрешность измерения толщины изотропной волноводной пленки при  $n_1=1.0$ ,  $n_3=1.513$ .

$a — n_2=1.6$ ,  $b — n_2=1.8$ ,  $e — n_2=2.0$ .

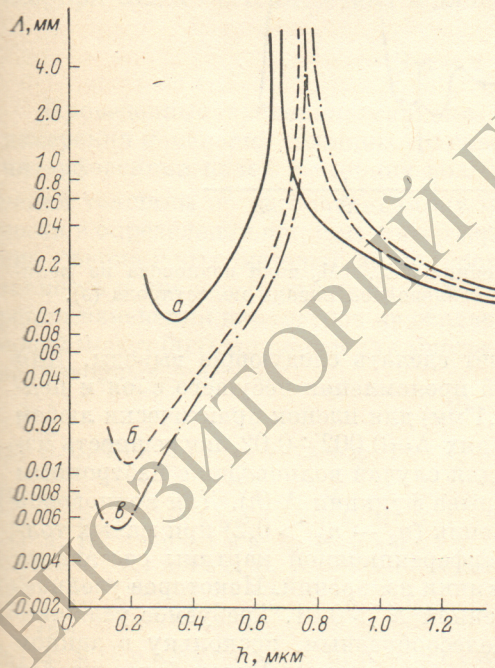


Рис. 3. Зависимость периода интерференционной картины полей рассеяния TE<sub>0</sub>, TM<sub>0</sub> волн от толщины волновода с двойным лучепреломлением при  $n_1=1.0$ ,  $n_3=1.513$ .

$a — n_2=1.6$ ,  $b — n_2=1.8$ ,  $e — n_2=2.0$ ;  $\Delta=0.005$ .

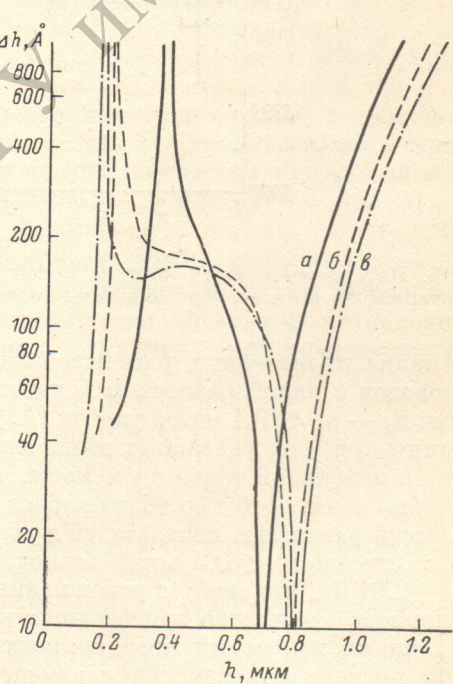


Рис. 4. Погрешность измерения толщины волновода с двойным лучепреломлением при  $n_1=1.0$ ,  $n_3=1.513$ .

$a — n_2=1.6$ ,  $b — n_2=1.8$ ,  $e — n_2=2.0$ ;  $\Delta=0.005$ .

лены зависимости  $\Lambda(h)$ , а на рис. 4 — результаты расчета погрешности измерения толщины пленок. Характерным является наличие точек разрыва функции  $\Lambda(h)$ , который объясняется пересечением дисперсионных кривых  $\gamma_0(h)$  и  $\gamma_0^*(h)$  при  $\Delta > 0$ . Погрешности измерения толщины волноводных пленок существенно меньше, чем для изотропных пленок, особенно в окрестностях указанных точек разрыва. При меньших значениях  $\Delta$  точка разрыва функции  $\Lambda(h)$  будет смещаться в область больших толщин пленок, а при больших значениях  $\Delta$  — в область пленок меньшей толщины.

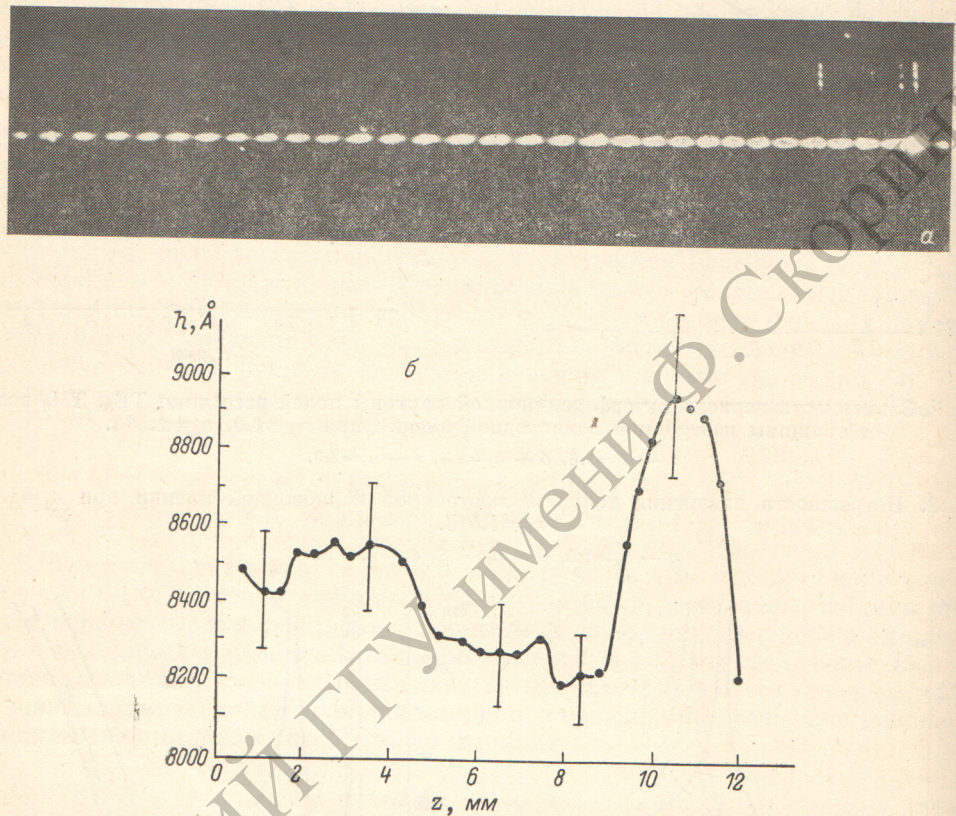


Рис. 5. Интерференционная картина полей рассеяния  $TE_0$ ,  $TM_0$  волн волновода из полистирола на стекле (а) и изменения толщины волноводной пленки полистирола (б).

Анализ проведенных расчетов позволяет сделать следующие выводы. Для волноводов с малой разностью показателей преломления несущего слоя и подложки  $n_2 - n_3 < 0.1$  метод удобен ( $\Delta > 0.1$  мм) для пленок практически любой толщины при всех указанных выше значениях  $\Delta = 0.002 \div 0.02$ , погрешность измерения изменений толщины меньше, чем для случая волноводов с изотропным несущим слоем, особенно вблизи точек разрыва функции  $\Lambda(h)$ . Для волноводов с большей разностью показателей преломления ( $n_2 - n_3 > 0.2$ ) при малых толщинах пленок ( $h < 0.5$  мкм) период интерференционной картины составляет  $0.005 \div 0.01$  мм, что требует усложнения техники измерений. Некоторое увеличение периода отмечается при больших значениях  $\Delta > 0.01$ . Требуемое усложнение техники измерений представляется целесообразным, поскольку в данном случае погрешность измерения изменений толщины мала. Метод более удобен ( $\Delta > 0.1$  мм) для пленок толщиной  $h = 0.5 \div 1.5$  мкм, при этом погрешность также меньше, чем для волноводов с изотропным несущим слоем.

Следует отметить, что как для волноводов с изотропным несущим слоем, так и волноводов с двойным лучепреломлением функции  $\Lambda(h)$  имеют точки, где  $d\Lambda/dh = 0$ , вблизи которых погрешность измерения изменений толщины пленок велика, что несколько ограничивает применение рассматриваемого метода в области малых толщин волноводных пленок.

## Экспериментальные результаты

Экспериментальные измерения изменений толщины проводились для волноводов, образованных пленками полистирола ( $n_2=1.5852$ ) на стекле ( $n_3=1.513$ ), полученных из раствора без специальной стабилизации скорости вытягивания. В волноводах вдоль некоторого направления  $z$  одновременно возбуждались моды  $\text{TE}_0$  и  $\text{TM}_0$ . Картина интерференции полей рассеяния этих мод фотографировалась. С помощью регистрирующего микрофотометра МФ-4 по негативу определялись координаты интерференционных минимумов  $z_j$  и ширина полос  $\Delta_z = z_{j+1} - z_j$ . Показатели преломления сред, образующих волноводы, были измерены ранее по коэффициентам замедления фазовой скорости волн волноводов с разным числом мод. Показатель преломления для  $\text{TM}$  мод  $n_2^*$  отличался даже для серии волноводов, изготовленных из одного раствора, величина  $\Delta = n_2^* - n_2$  составляла от 0.0042 до 0.0050. Для каждого образца значение  $\Delta$  определялось следующим образом. В области, где ранее была измерена ширина интерференционной полосы  $\Lambda_i$ , устанавливалаась призма для вывода излучения. По направлениям главных максимумов излучения  $\text{TE}_0$  и  $\text{TM}_0$  мод определялись коэффициенты замедления фазовой скорости  $\gamma_0$  и  $\gamma_0^*$ . Контроль точности определения  $\gamma_0$  и  $\gamma_0^*$  проводился по совпадению величины  $\Delta\gamma = \gamma_0 - \gamma_0^*$  с  $\Delta\gamma_i = \lambda_0/\Lambda_i$ . По экспериментально определенным  $n_1$ ,  $n_2$ ,  $n_3$ ,  $\gamma_0$ ,  $\gamma_0^*$  в соответствии с дисперсионными уравнениями (1) и (2) рассчитывалась величина  $n_2^*$  и  $\Delta$ . Для известных параметров  $n_1$ ,  $n_2$ ,  $n_2^*$ ,  $n_3$  были рассчитаны подробные таблицы зависимости периода интерференционной картины от толщины волноводных пленок. По таблицам определялась толщина волноводной пленки  $h_j$  на ширине экспериментально измеренной полосы  $\Lambda_j$ . На рис. 5 приведены фотография интерференционной картины и результаты определения изменений толщины для одного из образцов волноводной пленки полистирола на стекле. Погрешность  $\Delta h$  рассчитывалась, как и ранее, при  $\Delta\Lambda/\Lambda=0.1$ . Величина  $\Delta$  для этого образца составляла 0.0049.

## Заключение

Проведенные экспериментальные исследования подтвердили возможность измерения изменений толщины волноводных пленок при использовании явления интерференции полей рассеяния волноводных мод. Точность определения изменений толщины по рассматриваемому методу составила  $100 \pm 500 \text{ \AA}$  при погрешности в определении ширины интерференционной полосы  $\Delta\Lambda/\Lambda=0.1$ . Применение специальных методов интерферометрии позволяет значительно повысить точность и проводить измерения с точностью до десятков ангстрем. Метод измерения изменений параметров на основе интерференции рассеянных волноводных полей может быть применен для многослойных, диффузных, полосковых и других волноводных систем.

## Литература

- [1] D. C. Flanders, H. Kogelnik, R. V. Schmidt, C. V. Shank. Appl. Phys. Lett., 24, 194, 1974.
- [2] А. С. Кузали, А. В. Чекан. Опт. и спектр., 44, 148, 1978.
- [3] О. В. Константинов, М. Э. Райх. ЖТФ, 49, 703, 1979.
- [4] Л. Н. Дерюгин, С. В. Зайцев, А. В. Чекан. Опт. и спектр., 47, 380, 1979.
- [5] А. Ю. Агапов, С. В. Зайцев. Опт. и спектр., 51, 722, 1981.
- [6] J. P. Sosnowski, H. P. Weber. App. Phys. Lett., 21, 310, 1972.
- [7] J. Wei, S. J. Ingrey, W. D. Westwood, S. Kos. Appl. Phys. Lett., 28, 317, 1976.
- [8] А. М. Гончаренко, В. К. Киселев, В. П. Редько, О. Д. Шляхтичев. Квант. электрон., 5, 434, 1978.

Поступило в Редакцию 26 марта 1981 г